

圧密過程中的の応力やひずみの挙動

BEHAVIOR OF STRESSES AND STRAIN DURING CONSOLIDATION

熊本 直樹* (Naoki Kumamoto)

吉国 洋** (Hiroshi Yoshikuni)

キーワード：圧密／応力／沈下／粘性土／パーチカドレイン／ひずみ／有効応力 (IGC : D5)

1. まえがき

圧密に関する解析的研究では、間隙水圧や体積ひずみなどの方向性を持たない量や、境界面の応力や変位に着目することが多く¹⁾、粘土内部の応力やひずみの挙動はあまり言及されていない。しかし、間隙水圧の挙動が同じでも、応力経路が異なる例がしばしば見られる。例えば立方体の圧密を考えると、立方体の側面の変位を拘束して上端面に荷重を作用させ、上端面からのみ排水させる形式の圧密は、いわゆる一次元圧密で、線形弾性を仮定すれば間隙水圧を未知数とした熱伝導型の圧密方程式で表わされる。このとき、任意点の応力は K 。線上を通過し、この形式の圧密は「 K 。圧密」と呼ばれている。ところが、境界面の変形条件を同じにしても（境界面の側方変位を拘束、上端面に載荷）、排水を側面からのみに変更すると、間隙水圧や体積ひずみで表わされた圧密方程式は上記「 K 。圧密」と全く同じになるが、立方体内部の応力やひずみの挙動は全く異なる。その一例が、著者らがパーチカドレイン打設地盤を有限要素法で解析するときによく用いている壁状のドレインによる圧密で、参考文献2)に示したように、壁状ドレインに近いところ、すなわち排水面近傍では、圧密初期に等方応力が増加し、そのあと偏差応力が増加する。したがって、この形式の圧密は、外見上は境界面の側方変位がなく、上端面のみが沈下するので、一般には K 。圧密と呼ばれているが、立方体内部の任意点の応力は K 。線上は通過しない。

また、三軸圧密試験においては、円柱周面から排水させることが多いが、このときの円柱内部の応力の挙動も複雑である。例えば、円柱の周面の側方変位を拘束して、上端面のみを沈下させ、周面からのみ排水させる試験を「 K 。圧密試験」と称してしばしば実施されているが、実際には粘土内部の応力は K 。線上を通過せず、真の意味の K 。圧密試験ではないことが指摘されている。同様に、パーチカドレインによる圧密（中空円柱の圧密）でも、境界面の変形方向と排水方向とが異なるために、 K 。圧密と呼ばれている変形条件のときでさえ、中空円柱内部では応力やひずみが複雑に変化する。

著者らは、立方体の圧密、球の圧密、円柱の圧密および中空円柱の圧密を、文献1), 3), 4), 5)などで論じているが、これらはいずれも間隙水圧、体積ひずみあるいは境界面の変位や応力に着目したものであった。そこでこの論文は、以下の事柄を明らかにすることを目的とする。第1の目的は、圧密過程中的の粘土内部の成分やひずみの成分を、具体的に示すことである。第2の目的は、上記の現象、すなわち圧密方程式は一次元圧密（ K 。圧密）と同じになり、また、外見上は（境界面は）一次元的変形しかししないのに、応力やひずみの挙動が複雑になるメカニズムを明らかにすることである。

この研究は解析的に行うので、数学的取扱いを簡単にするために、粘土骨格は線形弾性と仮定し、透水係数も圧密過程中心一定とする。このような仮定は実際の粘土に対しては十分認められるものではないが、排水方向によって応力やひずみの挙動が変化するメカニズムは十分知ることができる。

* 三菱重工業株式会社 技術本部 広島研究所 鉄構・土木研究室

** 工博、広島大学 教授 工学部 第四類

2. 非回転変形を伴う圧密の方程式とその解

応力やひずみの解を示す前に、間隙水圧および体積ひずみの解を示しておく。粘土骨格の応力ひずみ関係は等方線形弾性とし、微小ひずみの仮定を置く。また、Darcy則が成立するものとし、透水係数は圧密過程中一定とする。さらに、粘土の完全飽和、および粘土粒子・間隙水圧の非圧縮性の仮定を置く。このとき、圧密を静的とみなし、粘土の自重の影響を無視すると、圧密は次の方程式で表わされる⁶⁾。

$$\frac{\partial u}{\partial t} = c_v \nabla^2 u + \frac{\partial \varphi}{\partial t} \quad \text{----- (1)}$$

$$\text{grad } \varphi = \mu \text{ rot } \omega \quad \text{----- (2)}$$

ここで、 u 、 t 、 c_v 、 ∇^2 はそれぞれ、間隙水圧、時間、圧密係数、Laplacian である。圧密係数 c_v は

$$c_v = \frac{k}{\gamma_w} (\lambda + 2\mu) = \frac{k}{\gamma_w m_v}$$

である。ここで、 k 、 γ_w 、 m_v はそれぞれ、透水係数、間隙水の単位体積重量、体積圧縮係数であり、 λ 、 μ は Lamé の定数である。また、 φ は「圧密応力」であり、次式で定義される。

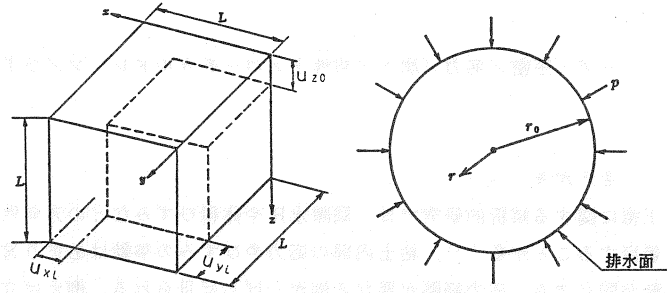
$$\varphi = (\lambda + 2\mu) e_v + u \quad \text{----- (3)}$$

ここで、 e_v は体積ひずみである。

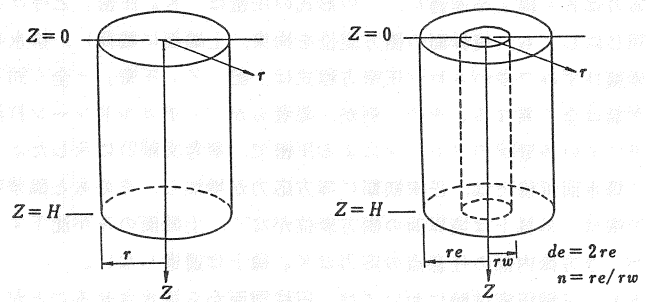
式(2)の ω は

$$\omega = \text{rot } \mathbf{u} \quad \text{----- (4)}$$

である。ここで、 \mathbf{u} は変位ベクトルである。いま、変形を、 $\text{rot } \mathbf{u} = 0$ 、すなわち非回転に限定すると、式(2)から分かるように、 $\text{grad } \varphi = 0$ となり、圧密応力 φ は位置的には定数で、時間のみの関数になる。文献1)、3)、4)、5)などに示しているように、



(上端面のみ排水面)
(a) 立方体の圧密 (b) 球の圧密



(c) 円柱の圧密 (d) 中空円柱の圧密

図1 立方体、球、円柱および中空円柱の座標

表1 圧密形式と圧密荷重 p 及び係数 α

圧密形式	α, p				α
	既知境界値及び p				
	立方体	球	円柱	中空円柱	
等方圧密	$\bar{p}_x = \bar{p}_y = \bar{p}_z = p$	p	$\bar{p}_r = \bar{p}_z = p$	$\bar{p}_{re} = \bar{p}_{rw} = \bar{p}_z = p$	$\frac{2(1-2\nu)}{1+\nu}$
K_0 圧密 (p_r 既知型)	$\bar{p}_z = p$ $U_{zL} = 0, U_{yL} = 0$	—	$\bar{p}_z = p$ $U_{r0} = 0$	$\bar{p}_z = p$ $U_{re} = 0, U_{rw} = 0$	0
$\epsilon_z = 0$ 圧密	$\bar{p}_x = \bar{p}_y = p$ $U_{z0} = 0$	—	$\bar{p}_r = p$ $U_{z0} = 0$	$\bar{p}_z = \frac{n^2-1}{n^2+1} p_{re} + \frac{n^2-1}{n^2+1} p_{rw}$ $U_{z0} = 0$	$1-2\nu$
中空押し広げ型圧密	—	—	—	$\bar{p}_{rw} = p$ $U_{z0} = 0, U_{re} = 0$	$\frac{(n^2-1)(1-2\nu)}{(1-2\nu)n^2+1}$

u_{r0} : 円柱周面の半径方向変位, U_{re}, U_{rw} : 中空円柱外周面および内周面の半径方向変位, $n=r_e/r_w$ r_e : 中空円柱外周半径, r_w : 中空円柱内周半径

非回転変形を伴う圧密の圧密応力 φ は

$$\varphi = (1 + \alpha) p - \alpha \bar{u} \quad \text{----- (5)}$$

という形で表わされる。ここで、 α はポアソン比 ν の関数で、土塊の変形条件によって定まる係数である。この係数 α は、圧密応力 φ の増加率を意味する。また、 p は

$$p = F_x p_x + F_y p_y + F_z p_z \quad \text{----- (6)}$$

という形で表わされる。ここで、 p_x 、 p_y 、 p_z は土塊の境界面に作用させる荷重であり、 F_x 、 F_y 、 F_z は変形条件によって定まる係数である。荷重 p が時間的に一定で、非回転変形を伴う圧密の方程式は、式(1) および式(5) から次のようになる。

$$\frac{\partial u}{\partial t} = c_v \nabla^2 u - \frac{\alpha}{V} \frac{d}{dt} \int_V u dV \quad \text{----- (7)}$$

ここで、 V は土塊の体積である。 ζ を位置、 τ を時間を表わす関数とすると、式(7) の解は一般に

$$U = \sum_{i=1}^{\infty} C_i [D_0(\lambda_i \zeta) - D_0(\lambda_i \zeta) |_{\zeta=\zeta_p}] \exp(-\lambda_i^2 \tau) \quad \text{----- (8)}$$

ここに $U = u/u_0$ (u_0 : 初期間隙水圧)

ζ_p : 排水面

λ_i : 固有値

という形で表わされる。また体積ひずみ e_v は

$$\frac{e_v}{e_{vf}} = 1 - \sum_{i=1}^{\infty} C_i D_0(\lambda_i \zeta) \exp(-\lambda_i^2 \tau) \quad \text{----- (9)}$$

という形で表わされる。ここで、 e_{vf} は最終体積ひずみである。

次に、具体的に解を示す。図1に示すように、立方体、球、円柱および中空円柱の圧密を考える。立方体は、1辺の長さを L とし、上面のみを排水面とする。横方向に x 、 y 座標をとり、鉛直方向に z 座標をとる。球の半径は r_0 で表し、半径方向に r 座標をとる。そして、球の表面を排水面とし、等方的な荷重 p を表面に作用させる。円柱の半径は r_0 で、半径方向に r 座標をとり、周面を排水面とする。中空円柱の内・外周面の半径はそれぞれ r_w 、 r_e で、半

表2 係数 C_i

	C_i
立方体の圧密	$\frac{\frac{\alpha}{\lambda_i} (\sin \lambda_i - \lambda_i \cos \lambda_i) - \cos \lambda_i + 1}{\left\{ 1 - \frac{\alpha^2}{\lambda_i^2 (1+\alpha)^2} \right\} \frac{1}{4} \sin 2\lambda_i - \sin \lambda_i \cos \lambda_i + \left\{ 1 + \frac{\alpha^2}{\lambda_i^2 (1+\alpha)^2} \right\} \frac{\lambda_i}{2}}$
球の圧密	$\frac{(1+\alpha) \left(\frac{\sin \lambda_i}{\lambda_i^2} - \frac{\cos \lambda_i}{\lambda_i} - \frac{\sin \lambda_i}{3\lambda_i} \right)}{-\frac{\sin \lambda_i \cos \lambda_i}{2\lambda_i^2} + \frac{1}{2\lambda_i^2} - \frac{\sin \lambda_i}{\lambda_i^2} \left(\frac{\sin \lambda_i}{\lambda_i^2} - \frac{\cos \lambda_i}{\lambda_i} \right)}$
円柱の圧密	$\frac{2}{\lambda_i \left\{ 1 - \frac{4\alpha}{(1+\alpha)^2} \cdot \frac{1}{\lambda_i^2} \right\} J_1(\lambda_i)}$
中空円柱の圧密	$\frac{-2\lambda_i D_1(\lambda_i)}{\lambda_i^2 n^2 \{ D_0(\lambda_i n) \}^2 - \left[\lambda_i^2 - 1 + \left\{ \frac{2\alpha + (1+\alpha)(n^2-1)}{(1+\alpha)(n^2-1)} \right\}^2 \right] \{ D_1(\lambda_i) \}^2}$

表3 圧密形式と座標 ζ 、関数 $D_0(\lambda_i \zeta)$ 、排水面の位置 ζ_p 、時間 τ 、固有値 λ_i

	ζ		$D_0(\lambda_i \zeta)$	ζ_p	τ		λ_i
	ζ	定義			τ	T の定義	
立方体の圧密	Z	$\frac{z}{L}$	$\frac{1}{\lambda_i} \frac{\alpha}{1+\alpha} \cos \lambda_i z + \sin \lambda_i z$	0	T	$\frac{Cvt}{L^2}$	$(1+\alpha)\lambda \cos \lambda - \alpha \sin \lambda = 0$ の根
球の圧密	R	$\frac{r}{r_0}$	$\frac{\sin \lambda_i R}{\lambda_i R}$	1	T	$\frac{Cvt}{r_0^2}$	$\left(1 - \frac{1+\alpha}{3\alpha} \lambda^2 \right) \tan \lambda - \lambda = 0$ の根
円柱の圧密	R	$\frac{r}{r_0}$	$J_0(\lambda_i R)$	1	T	$\frac{Cvt}{r_0^2}$	$J_0(\lambda) - \frac{2\alpha}{1+\alpha} \cdot \frac{1}{\lambda} \cdot J_1(\lambda) = 0$ の根
中空円柱の圧密	R	$\frac{r}{r_w}$	$J_0(\lambda R) - \frac{J_1(\lambda n)}{Y_1(\lambda n)} Y_0(\lambda R)$	1	$4n^2 T$	$\frac{Cvt}{d_e^2}$	$D_0(\lambda) + \frac{2\alpha}{(1+\alpha)(n^2-1)\lambda} D_1(\lambda) = 0$ の根

J, Y: Bessel 関数 $n = r_e/r_w$ $d_e = 2r_e$ $D_1: D_0$ で J_0, Y_0 を J_1, Y_1 と置いたもの

径方向に r 座標をとる。また、内周面のみが、排水面である。

これらの圧密応力 φ は、前述のように、式(5) で与えられるが、圧密荷重 p および α は表1 に示すとおりである。また、間隙水圧 $U (=u/u_0)$ は式(8) に示すとおりであるが、 C_i 、 λ_i 、 ζ 、 $D_0(\lambda_i \zeta)$ 、 ζ_p 、 τ は表2 および表3 に示すとおりである。また、体積ひずみ e_v も式(9) および表2、表3 から、具体的に定めることができる。なお、中空円柱の圧密で n という記号が用いられているが、これは中空円柱の外径と内径の比 (つまり、 $n=de/dw=re/rw$) である。

3. 圧密過程中的の応力やひずみ

3. 1 立方体の圧密

図1(a)に示す立方体 (排水方向は z 方向のみ) の場合、ひずみは式(10)~式(12)で与えられる。

$$\varepsilon_x = \bar{\varepsilon}_x = \frac{u_{xL}}{L} \quad \text{..... (10)}$$

$$\varepsilon_y = \bar{\varepsilon}_y = \frac{u_{yL}}{L} = \varepsilon_x \quad (\because u_{xL} = u_{yL}) \quad \text{..... (11)}$$

$$\bar{\varepsilon}_z = \frac{u_{z0}}{L} \quad \text{..... (12)}$$

ここで、 u_{xL} 、 u_{yL} 、 u_{z0} はそれぞれ、 $x=L$ 、 $y=L$ 、 $z=0$ の面の変位である。なお、 $x=0$ 、 $y=0$ 、 $z=L$ の面の変位は0としている。 ε_z については平均値しか与えられていないが、任意点の ε_z は

$$\varepsilon_z = e_v - (\varepsilon_x + \varepsilon_y) = e_v - \frac{2 u_{xL}}{L} \quad \text{..... (13)}$$

で与えられる。体積ひずみ e_v は式(9) で与えられているので、 ε_z は、次のようになる。

$$\varepsilon_z = e_{vf} - \frac{e_{vf}}{1+\alpha} \sum_{i=1}^{\infty} C_i \left(\frac{\cos \lambda_i}{\sin \lambda_i} \cos \lambda_i Z + \sin \lambda_i Z \right) \exp(-\lambda_i^2 T) - \frac{2 u_{xL}}{L} \quad \text{..... (14)}$$

つまり、 $u_{xL} (=u_{yL})$ が判明すれば、式(10)、式(11)および式(14)から任意点のひずみ ε_x 、 ε_y および ε_z を求めることができる。 ε_x 、 ε_y 、 ε_z が求めれば、式(15)から任意点の応力 σ'_x 、 σ'_y 、 σ'_z が定まる。

$$\left. \begin{aligned} \sigma'_x &= (\lambda + 2\mu) \varepsilon_x + \lambda (\varepsilon_y + \varepsilon_z) \\ \sigma'_y &= \lambda \varepsilon_x + (\lambda + 2\mu) \varepsilon_y + \lambda \varepsilon_z \\ \sigma'_z &= \lambda (\varepsilon_x + \varepsilon_y) + (\lambda + 2\mu) \varepsilon_z \end{aligned} \right\} \quad \text{..... (15)}$$

具体的に u_{xL} を求めると、次のようになる。

〈等方圧密の場合〉

$$u_{xL} = \frac{1-\nu}{1+\nu} m_v p L \bar{U}_d = \frac{1-2\nu}{E} p L \bar{U}_d \quad \text{..... (16)}$$

〈 $\varepsilon_z = 0$ 圧密の場合〉

$$u_{xL} = (1-\nu) m_v p L \bar{U}_d = \frac{(1+\nu)(1-2\nu)}{E} p L \bar{U}_d \quad \text{..... (17)}$$

〈 p_z 既知型 K_0 圧密の場合〉

$$u_{xL} = 0 \quad \text{..... (18)}$$

なお、式(16)~式(18)で用いている \bar{U}_d は平均圧密度で、具体的には式(8) を用いて、次のようになる。

$$\bar{U}_d = 1 - \bar{U} = 1 - \sum_{i=1}^{\infty} C_i \frac{1}{\lambda_i} \left(\frac{1}{\lambda_i} \frac{\alpha}{1+\alpha} (\sin \lambda_i - \lambda_i) - \cos \lambda_i + 1 \right) \exp(-\lambda_i^2 T) \quad \text{..... (19)}$$

式(16)~式(18)から u_{xL} を求めると、式(10)、式(11)、式(14)から任意点の ε_x 、 ε_y 、 ε_z が、式(15)から任意点の σ'_x 、 σ'_y 、 σ'_z が求まる。

なお、蛇足ながら、壁状ドレーンによる圧密の応力やひずみについても考えてみる。柱状のサンドドレーンの理想的なモデルとして内外周面の側方変位を拘束した中空円柱を考えると同様に、壁状ドレーンによる圧密の理想的なモデルを、境界面の側方変位を拘束した立方体の圧密としよう。そして、 $x = 0$ の面のみを排水面とする。さらに、壁状ドレーンの場合には平面ひずみ条件となるので、立方体内部においても $\varepsilon_y = 0$ である。つまり、外見（すなわち境界面の变形条件）は図1の立方体の p_z 既知型 K_0 圧密と全く変わらず、排水方向が x 方向のみに変わっただけの变形・排水条件のものが、壁状ドレーンの理想モデルの圧密である。この圧密では排水方向が x 方向であるので、

$$\varepsilon_z = \bar{\varepsilon}_z = u_{z0}/L \quad (20)$$

$$\varepsilon_y = \bar{\varepsilon}_y = 0 \quad (21)$$

$$\bar{\varepsilon}_x = 0 \quad (22)$$

である。したがって、平均体積ひずみ \bar{e}_v は

$$\bar{e}_v = \bar{\varepsilon}_z = \varepsilon_z \quad (23)$$

であるが、任意点の体積ひずみ e_v は

$$e_v = \varepsilon_x + \varepsilon_z = \varepsilon_x + \bar{e}_v \quad (24)$$

である ($\bar{\varepsilon}_x = 0$ ではあるが、 $\varepsilon_x \neq 0$ であることに注意されたい。これを間違えると、Barronと同じ誤ちをおかすことになる)。

この壁状ドレーンの圧密では、 $u_{xL} = u_{yL} = 0$ であるので、係数 α は 0 になる。そして、排水方向が x 方向のみであるので、圧密方程式は

$$\frac{\partial u}{\partial t} = c_v \frac{\partial^2 u}{\partial x^2} \quad (25)$$

となる。つまり、図1の立方体の K_0 圧密の z が x に変わるだけで、圧密方程式の形は全く同じになる。したがって、式(8)および式(9)に示した解の Z を X ($=x/L$) に変更するだけで、式(25)の解が得られる。故に、図2に示す壁状ドレーンの圧密の任意点のひずみ ε_x 、 ε_y 、 ε_z は、式(21)、式(23)、式(24)から次のようになる。

$$\varepsilon_x = \varepsilon_{zf} \left\{ 2 \sum_{i=1}^{\infty} \left(\frac{1}{\lambda_i^2} - \frac{\sin \lambda_i X}{\lambda_i} \right) \exp(-\lambda_i^2 T) \right\} \quad (26)$$

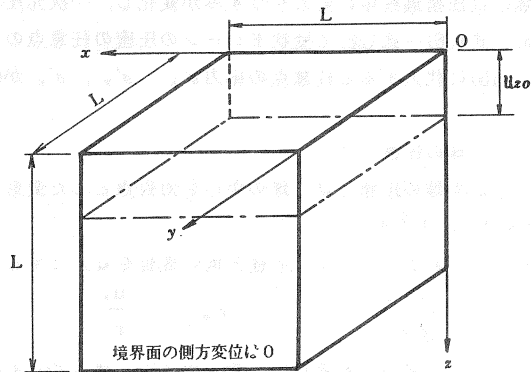
$$\varepsilon_y = 0 \quad (27)$$

$$\varepsilon_z = \varepsilon_{zf} \left\{ 1 - 2 \sum_{i=1}^{\infty} \frac{1}{\lambda_i^2} \exp(-\lambda_i^2 T) \right\} \quad (28)$$

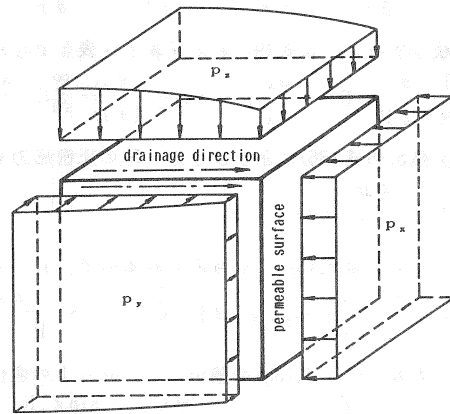
$z = 0$ の面で排水させる K_0 圧密、すなわち境界面の变形方向と排水方向が一致する K_0 圧密の場合は、式(10)、式(11)、式(13)から

$$\left. \begin{aligned} \varepsilon_x &= \varepsilon_y = 0 \\ \varepsilon_z &= e_v \quad (e_v \text{ は式(9) で与えられている}) \end{aligned} \right\} \quad (29)$$

であるが、排水方向を x 方向に変えただけの K_0 圧密では式(26)～式(28)に示すように立方体内部に発生するひずみが大きく異なる。特に、横方向の境界面の変位を拘束しているにもかかわらず、粘土内部では ε_x



(a) 变形条件



(b) 排水条件

図2 壁状ドレーンの圧密の理想モデル

(式(26))が発生し、真の意味のK。圧密になっていない。この壁状ドレーンの圧密方程式は、式(25)に示すように、一次元圧密方程式と全く同じであるが、ひずみ成分(換言すれば応力成分)の挙動は一次元圧密とは全く異なる。したがって、境界面の変位および排水方向が一方のみであっても、その方向が一致しない場合は圧密過程にひずみやひずみ成分が変化し、一次元圧密とは言えない。

なお、式(26)~式(28)で壁状ドレーンの圧密の任意点のひずみ $\epsilon_x, \epsilon_y, \epsilon_z$ が与えられるので、これらを式(15)に代入すると任意点の応力 $\sigma'_x, \sigma'_y, \sigma'_z$ が得られる。

3.2 球の圧密

図1に示す球の圧密では、球の中心を対称点とした変形が発生する。したがって、体積ひずみ e_v は

$$e_v = \epsilon_r + 2\epsilon_\theta \quad \text{..... (30)}$$

である。 ϵ_r および ϵ_θ は、半径方向の変位を u_r とするとき

$$\epsilon_r = -\frac{\partial u_r}{\partial r}, \quad \epsilon_\theta = -\frac{u_r}{r} \quad \text{..... (31)}$$

で与えられる。式(31)を式(30)に代入すると、式(32)を得る。

$$e_v = -\frac{\partial u_r}{\partial r} - 2\frac{u_r}{r} = -\frac{1}{r^2} \frac{\partial (r^2 u_r)}{\partial r} \quad \text{..... (32)}$$

一方、体積ひずみ e_v は式(9) および表1~表3で与えられているので、 $R = r/r_0$ とすると

$$-\frac{1}{R^2} \frac{\partial}{\partial R} \left(R^2 \frac{u_r}{r_0} \right) = e_{vf} - \frac{e_{vf}}{1+\alpha} \sum_{i=1}^{\infty} C_i \frac{\sin \lambda_i R}{\lambda_i R} \exp(-\lambda_i^2 T) \quad \text{..... (33)}$$

を得る。文献5)の式(36)に示すように、球の圧密応力 φ は

$$\varphi = p - \frac{4\mu}{r_0} u_{r0} \quad \text{..... (34)}$$

であるが、この φ は式(5)でも与えられるので、 $R = 1$ ($r = r_0$: 球の表面)の変位 u_{r0} は

$$u_{r0} = -\frac{1-\nu}{1+\nu} m_v p r_0 (1-\bar{U}) = -\frac{1-2\nu}{E} p r_0 (1-\bar{U}) \quad (\bar{U} = u/u_0) \quad \text{..... (35)}$$

である。したがって、式(33)を積分して、 $R = 1$ の変位が式(35)になるように積分定数を定めると

$$\frac{u_r}{r_0} = e_{vf} \left\{ -\frac{R}{3} + \frac{1}{(1+\alpha)R^2} \sum_{i=1}^{\infty} \frac{C_i}{\lambda_i} \left(\frac{\sin \lambda_i R}{\lambda_i^2} - \frac{R \cos \lambda_i R}{\lambda_i} \right) \exp(-\lambda_i^2 T) \right\} \quad \text{..... (36)}$$

となる。故に、 ϵ_r および ϵ_θ は次のようになる。

$$\frac{\epsilon_r}{e_{vf}} = \frac{1}{3} + \sum_{i=1}^{\infty} \left\{ \frac{2}{(1+\alpha)R^3} \frac{C_i}{\lambda_i} \left(\frac{\sin \lambda_i R}{\lambda_i^2} - \frac{R \cos \lambda_i R}{\lambda_i} \right) - \frac{C_i}{1+\alpha} \frac{\sin \lambda_i R}{\lambda_i R} \right\} \exp(-\lambda_i^2 T) \quad \text{..... (37)}$$

$$\frac{\epsilon_\theta}{e_{vf}} = \frac{1}{3} - \frac{1}{(1+\alpha)R^3} \sum_{i=1}^{\infty} \frac{C_i}{\lambda_i} \left(\frac{\sin \lambda_i R}{\lambda_i^2} - \frac{R \cos \lambda_i R}{\lambda_i} \right) \exp(-\lambda_i^2 T) \quad \text{..... (38)}$$

ϵ_r および ϵ_θ が式(37)および式(38)から求まるので、任意点の応力 σ'_r および σ'_θ は次のようになる。

$$\sigma'_r = (\lambda + 2\mu) e_v - 4\mu \epsilon_\theta \quad \text{..... (39)}$$

$$\sigma'_\theta = (\lambda + 2\mu) e_v - 2\mu (\epsilon_r + \epsilon_\theta) \quad \text{..... (40)}$$

3.3 円柱の外向き放射流れによる圧密

体積ひずみ e_v は

$$e_v = \epsilon_z + \epsilon_r + \epsilon_\theta \quad \text{..... (41)}$$

である。外向き放射流れのみによる圧密で、非回転の変形を仮定しているので、鉛直ひずみ ϵ_z は

$$\epsilon_z = \bar{\epsilon}_z = u_{z0}/H \quad \text{..... (42)}$$

である。ここで、 u_{z0} は円柱上端面の変位で、 H は円柱の高さである。一方、 $(\epsilon_r + \epsilon_\theta)$ は

$$\epsilon_r + \epsilon_\theta = -\frac{\partial u_r}{\partial r} - \frac{u_r}{r} = -\frac{1}{r} \frac{\partial}{\partial r} (r u_r) \quad (u_r : \text{半径方向変位}) \quad (43)$$

である。したがって、体積ひずみ e_v は式(42)および式(43)で与えられるが、さらに式(9)を用いると

$$-\frac{1}{R} \frac{\partial}{\partial R} (R \frac{u_r}{r_0}) = e_{vf} - \frac{e_{vf}}{1+\alpha} \sum_{i=1}^{\infty} C_i J_0(\lambda_i R) \exp(-\lambda_i^2 T) - \epsilon_z \quad (44)$$

となる。ここで、 $R = r/r_0$ である。式(44)を $R = 1$ ($r = r_0$)で $u_r = u_{r0}$ に注意して積分すると

$$\frac{u_r}{r_0} = -\frac{e_{vf}(R-1)}{2} + \frac{e_{vf}}{1+\alpha} \sum_{i=1}^{\infty} \frac{C_i}{\lambda_i} \{J_1(\lambda_i R) - J_1(\lambda_i)\} \exp(-\lambda_i^2 T) + \frac{\epsilon_z (R-1)}{2} + \frac{u_{r0}}{r_0} \quad (45)$$

を得る。したがって、 ϵ_r 、 ϵ_θ は次のようになる。

$$\epsilon_r = \frac{e_{vf}(R+1)}{2R} - \frac{\epsilon_z (R+1)}{2R} + \frac{u_{r0}}{r_0 R} + \frac{e_{vf}}{(1+\alpha)R} \sum_{i=1}^{\infty} \left[\frac{C_i}{\lambda_i} \{J_1(\lambda_i R) - J_1(\lambda_i)\} - C_i R J_0(\lambda_i R) \right] \exp(-\lambda_i^2 T) \quad (46)$$

$$\epsilon_\theta = \frac{e_{vf}(R-1)}{2R} - \frac{e_{vf}}{(1+\alpha)R} \sum_{i=1}^{\infty} \frac{C_i}{\lambda_i} \{J_1(\lambda_i R) - J_1(\lambda_i)\} \exp(-\lambda_i^2 T) - \frac{\epsilon_z (R-1)}{2R} - \frac{u_{r0}}{r_0 R} \quad (47)$$

なお、式(46)、式(47)に含まれる ϵ_z と u_{r0} は圧密形式によって異なり、具体的には次のようになる。

(p_z 既知型 K_0 圧密)

$$\epsilon_z = e_{vf} \left(1 - \frac{\bar{u}}{u_0}\right) \quad (48)$$

$$u_{r0} = 0 \quad (49)$$

(等方圧密)

$$\epsilon_z = \frac{e_{vf}}{3} \left(1 - \frac{\bar{u}}{u_0}\right) \quad (50)$$

$$u_{r0} = -\frac{e_{vf} R}{3} \left(1 - \frac{\bar{u}}{u_0}\right) \quad (51)$$

($\epsilon_z = 0$ 圧密)

$$\epsilon_z = \frac{u_{z0}}{H} = 0 \quad (52)$$

$$u_{r0} = -\frac{e_{vf} R}{2} \left(1 - \frac{\bar{u}}{u_0}\right) \quad (53)$$

式(46)~式(53)から、各圧密形式の円柱の任意点のひずみ ϵ_r 、 ϵ_θ 、 ϵ_z が求まるので、任意点の応力、 σ'_r 、 σ'_θ 、 σ'_z は、次式から求めることができる。

$$\left. \begin{aligned} \sigma'_r &= \lambda \epsilon_z + (\lambda + 2\mu) \epsilon_r + \lambda \epsilon_\theta \\ \sigma'_\theta &= \lambda (\epsilon_z + \epsilon_r) + (\lambda + 2\mu) \epsilon_\theta \\ \sigma'_z &= (\lambda + 2\mu) \epsilon_z + \lambda (\epsilon_r + \epsilon_\theta) \end{aligned} \right\} \quad (54)$$

3. 4 中空円柱の圧密

ここでは、中空円柱の等方圧密および K_0 圧密を取り扱う。

(等方圧密)

内向き放射流れのみと仮定しているのので、円柱の圧密と同様に、体積ひずみ e_v および鉛直ひずみ ϵ_z は式(41)および式(42)で与えられる。また、 $(\epsilon_r + \epsilon_\theta)$ も円柱の圧密と同様に式(43)で与えられ、等方圧密の ϵ_z は式(50)である。したがって、式(41)、式(43)、式(50)および式(9)から次式を得る。

$$-\frac{1}{R} \frac{\partial}{\partial R} (R \frac{u_r}{r_w}) = e_{vf} \left[\frac{2}{3} \sum_{i=1}^{\infty} \left\{ \frac{C_i}{1+\alpha} D_0(\lambda_i R) + \frac{2C_i D_1(\lambda_i)}{3(1+\alpha)(n^2-1)\lambda_i} \right\} \exp(-4\lambda_i^2 n^2 T) \right] \quad (55)$$

ここで、 $R = r/r_w$ (r_w :内周面半径)である。等方圧密であるので、 $u_{re}/r_e = u_{rw}/r_w$ である¹⁾。したがって、式(55)を積分し、 $u_{re}/r_e = u_{rw}/r_w$ となるように積分定数を定めると、変位 u_r は式(56)のようになる。

$$-R \frac{u_r}{r_w} = e_{vf} \left[\frac{R^2}{3} \sum_{i=1}^{\infty} \frac{C_i}{1+\alpha} \left\{ R D_1(\lambda_i R) + \frac{n D_1(\lambda_i n) - n^2 D_1(\lambda_i)}{n^2 - 1} + \frac{R^2 D_1(\lambda_i)}{3(n^2 - 1)} \right\} \exp(-4\lambda_i^2 n^2 T) \right] \quad (56)$$

故に、 ϵ_r 、 ϵ_θ は次のようになる。

$$\frac{\epsilon_r}{e_{vf}} = \left[\frac{1}{3} - \frac{1}{1+\alpha} \sum_{i=1}^{\infty} \frac{C_i}{\lambda_i} \left\{ \lambda_i D_0(\lambda_i R) - \frac{1}{R} D_1(\lambda_i R) - \frac{n D_1(\lambda_i n) - n^2 D_1(\lambda_i)}{R^2 (n^2 - 1)} + \frac{D_1(\lambda_i)}{3(n^2 - 1)} \right\} \exp(-4\lambda_i^2 n^2 T) \right]$$

$$\frac{\varepsilon_o}{e_{vr}} = \left\{ \frac{1}{3} - \frac{1}{1+\alpha} \sum_{i=1}^{\infty} \frac{C_i}{\lambda_i} \left\{ \frac{1}{R} D_1(\lambda_i R) + \frac{n D_1(\lambda_i n) - n^2 D_1(\lambda_i)}{R^2 (n^2 - 1)} + \frac{D_1(\lambda_i)}{3(n^2 - 1)} \right\} \exp(-4 \lambda_i^2 n^2 T) \right\} \dots\dots\dots (57)$$

また、 ε_z は、式(50)および式(8) から、次のようになる。

$$\frac{\varepsilon_z}{e_{vr}} = \frac{1}{3} + \frac{2}{3(1+\alpha)(n^2-1)} \sum_{i=1}^{\infty} \frac{C_i}{\lambda_i} D_1(\lambda_i) \exp(-4 \lambda_i^2 T) \dots\dots\dots (59)$$

(K_o 圧密)

等方圧密と異なる点は、鉛直ひずみ ε_z が式(48)で与えられることである。したがって、式(55)に相当する式は、次のようになる。

$$-\frac{1}{R} \frac{\partial}{\partial R} \left(R \frac{u_r}{r_w} \right) = -e_{vr} \sum_{i=1}^{\infty} C_i \left\{ D_0(\lambda_i R) + \frac{2}{n^2-1} \frac{1}{\lambda_i} D_1(\lambda_i) \right\} \exp(-4 \lambda_i^2 n^2 T) \dots\dots\dots (60)$$

式(60)を導く過程において、K_o 圧密であるので、 $\alpha = 0$ としている。式(60)を $u_{re} = 0$ 、 $u_{rw} = 0$ に着目して積分すると

$$R \frac{u_r}{r_w} = e_{vr} \sum_{i=1}^{\infty} \frac{C_i}{\lambda_i} \left\{ R D_1(\lambda_i R) - \frac{n^2 - R^2}{n^2 - 1} D_1(\lambda_i) \right\} \exp(-4 \lambda_i^2 n^2 T) \dots\dots\dots (61)$$

を得る。したがって、 ε_r 、 ε_o は次のようになる。

$$\frac{\varepsilon_r}{e_{vr}} = -\sum_{i=1}^{\infty} C_i \left\{ \frac{1}{\lambda_i R^2} \left\{ R D_1(\lambda_i R) - \frac{n^2 - R^2}{n^2 - 1} D_1(\lambda_i) \right\} - \left\{ D_0(\lambda_i R) + \frac{2}{n^2 - 1} \frac{1}{\lambda_i} D_1(\lambda_i) \right\} \right\} \times \exp(-4 \lambda_i^2 n^2 T) \dots\dots\dots (62)$$

$$\frac{\varepsilon_o}{e_{vr}} = -\frac{1}{R^2} \sum_{i=1}^{\infty} \frac{C_i}{\lambda_i} \left\{ R D_1(\lambda_i R) - \frac{n^2 - R^2}{n^2 - 1} D_1(\lambda_i) \right\} \exp(-4 \lambda_i^2 n^2 T) \dots\dots\dots (63)$$

また、 ε_z は、式(48)および式(8) から、次のようになる。

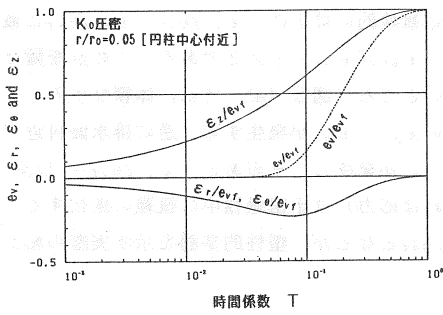
$$\frac{\varepsilon_z}{e_{vr}} = 1 + \frac{2}{n^2 - 1} \sum_{i=1}^{\infty} \frac{C_i}{\lambda_i} D_1(\lambda_i) \exp(-4 \lambda_i^2 n^2 T) \dots\dots\dots (64)$$

以上に、等方圧密及びK_o 圧密の中空円柱内部のひずみ ε_r 、 ε_o 、 ε_z を示したが、他の形式の圧密についても同様に検討できる。また、任意点のひずみが判明すれば、任意点の応力 σ'_r 、 σ'_o 、 σ'_z は式(54)で求めることができる。

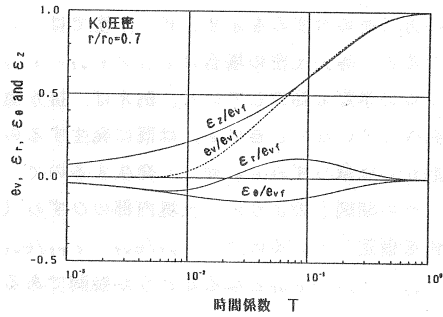
4. 計算例および考察

4. 1 K_o 圧密の応力とひずみ

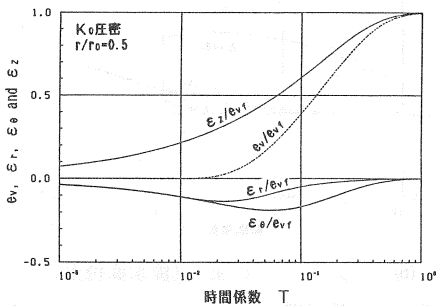
境界面の横方向の変位を拘束し、上端面のみが沈下する形式の圧密を、一般に「K_o 圧密」と呼んでいる。ところが排水方向と境界面の変位方向とが異なる場合は、粘土内部には横方向のひずみが発生し、真の意味のK_o 圧密にはならない。このような圧密としては、壁状ドレーンによる圧密、円柱のK_o 圧密、中空円柱のK_o 圧密(サンドドレーンの圧密)などがある。そこで、このような圧密の例として、円柱のK_o 圧密のひずみおよび応力経路を、図3および図4に示す。図3をみると、K_o 圧密にもかかわらず、円柱内部では ε_r および ε_o が発生している。このようなひずみが発生するメカニズムは、次のようである。体積ひずみ e_v は、排水面に近いところが速く発生し、排水面から遠いところが遅く発生する。ところが、非回転変形を仮定しているので、いわゆる等ひずみ条件になっており、円柱のいたるところで鉛直ひずみ ε_z は等しい。したがって、圧密のごく初期を考えると、排水面付近では体積ひずみ e_v はかなり発生するが ε_z はまだあまり発生していないために、 $(\varepsilon_r + \varepsilon_o)$ が発生せざるを得ない。一方、排水面から遠いところの圧密のごく初期を考えると、体積ひずみ e_v があまり発生していないのに ε_z は発生しているので、結局負の $(\varepsilon_r + \varepsilon_o)$ が発生する。つまり、境界面の横方向変位を拘束しているが、粘土内部では等ひずみ条件と体積ひず



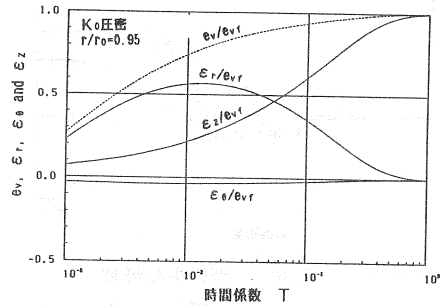
(a) $r / r_0 = 0.05$ (円柱中心付近)



(c) $r / r_0 = 0.7$



(b) $r / r_0 = 0.5$



(d) $r / r_0 = 0.95$ (排水面付近)

図3 円柱の K_0 圧密のひずみの挙動

みの関係から横方向の変位が発生するのである。

初期応力が $\sigma'_{z0} = 1 \text{ tf/m}^2$, $K_0 = 0.5 (\nu = 1/3)$ の円柱に $\bar{p}_z = 1.0 \text{ tf/m}^2$ の荷重を作用させたときの応力経路を示したものが図4である。円柱内の応力は K_0 線上を通過せず、排水面に近いところは、初期には等方応力が増加し、後期に偏差応力が増加する。排水面から遠いところはこの逆である。このような応力経路になる理由は、図3から直ちに理解できる。例えば排水面から遠いところでは、初期には体積ひずみは殆ど発生せず、正の ε_z と負の ε_r , ε_θ が発生する。したがって、この位置では平均有効応力 σ'_m が増加せず、偏差応力のみが増加する。一方、排水面に近いところでは、圧密初期から体積ひずみが発生し、 ε_r もよく発生するので、偏差応力はあまり変化せず平均有効応力が増加する。このような現象が発生する原因は、排水方向と境界面の変形方向が異なるため、つまり、体積ひずみは横方向に分布し、土塊全体で等しい ε_z が発生するためである。したがって、同じような変形および排水条件である、壁状ドレーンの K_0 圧密及び中空円柱の K_0 圧密(サンドドレーンの圧密)でも図4に類似したような応力経路になる。

なお、この論文では粘土は等方線形弾性と仮定しているので、最終的には土塊の至るところで $\varepsilon_r = 0$, $\varepsilon_\theta = 0$ となり、応力も K_0 線上に戻る。しかし、実際の粘土は塑性的挙動を示すので、 ε_r や ε_θ が0に戻ったり、応力が K_0 線上に戻ったりすることはないのではないと思われる。

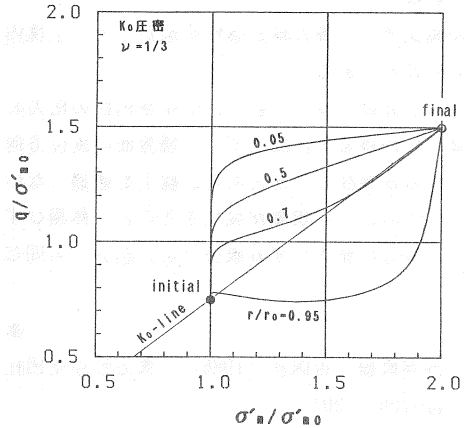
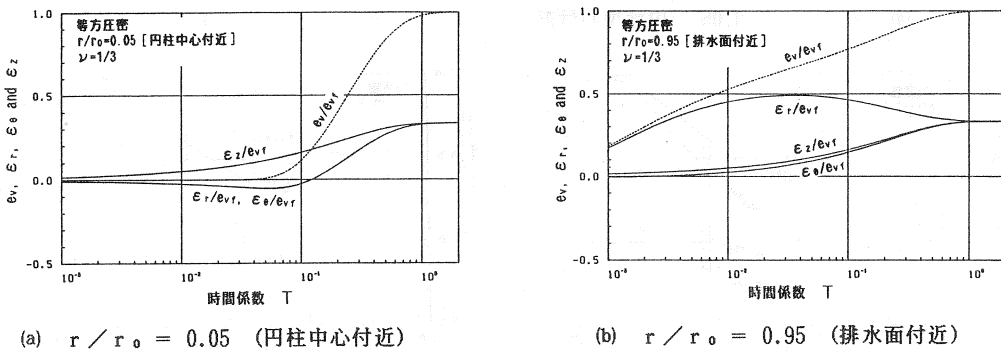


図4 円柱の K_0 圧密の応力経路の例

4. 2 等方圧密のひずみ

図5に等方圧密のひずみを示す。K₀圧密では ε_z / e_{vf} は最終的には1に、 ε_r / e_{vf} 、 $\varepsilon_\theta / e_{vf}$ は最終的に0になるが、等方圧密の場合は $\varepsilon_{zf} / e_{vf} = \varepsilon_{rf} / e_{vf} = \varepsilon_{\theta f} / e_{vf} = 1/3$ である。この点を除けば、両者のひずみの挙動は類似している。例えば、排水面から遠いところ（図5 (a)）では、体積ひずみ e_v がまだ殆ど発生していないときに ε_z は既に発生するので、負の ε_r 、 ε_θ が発生する。逆に排水面付近では、圧密の早期から体積ひずみ e_v がよく発生するので、大きな ε_r が発生し、そのあと $\varepsilon_r / e_{vf} = 1/3$ へと減小する。その間図5のように、土塊内部のひずみ（換言すれば応力）は圧密過程中に複雑に変化する。等方線形弾性を仮定しているので、 $\varepsilon_{zf} / e_{vf} = \varepsilon_{rf} / e_{vf} = \varepsilon_{\theta f} / e_{vf}$ となるが、塑性的挙動を示す実際の粘土で最終的に $\varepsilon_{zf} = \varepsilon_{rf} = \varepsilon_{\theta f}$ となるかどうか疑問である。



(a) $r / r_0 = 0.05$ (円柱中心付近) (b) $r / r_0 = 0.95$ (排水面付近)

図5 円柱の等方圧密のひずみの挙動の例

5. 結論

本論文では、等方線形弾性を仮定して、土塊内部の応力やひずみの挙動を検討した。その主要な結論は、次のとおりである。

- (1) 立方体、球、円柱および中空円柱の応力およびひずみの成分を表わす式を導出し、本文に示した。
- (2) いわゆるK₀圧密でも、境界面の変位方向と排水方向が異なる場合には土塊内部に横方向の変位やひずみが発生し、応力もK₀線上を通過しない。したがって、真の意味のK₀圧密ではない。
- (3) このような現象が発生するのは、体積ひずみの分布と ε_z の分布が異なるためである。
- (4) 等方圧密のひずみ成分（応力成分）も同じ理由から複雑な挙動を示す。

参 考 文 献

- 1) 熊本直樹, 吉国洋 (1986) : 異方性中空円柱の圧密, 土木学会論文報告集, 第 370号/Ⅲ-5, pp.199~ 207
- 2) 熊本直樹, 吉国洋 (1986) : パーチカルドレーンを打設した地盤の有限要素法による計算方法, 地盤と建設 (土質工学会中国支部論文報告集), Vol. 4, No. 1, pp.43 ~ 52
- 3) Kumamoto, N. and H. Yoshikuni (1981) : "A key to solution of the irrotational consolidation and its application to cylindrical clay", Soils and Foundations, Vol. 21, No. 2, pp 35 ~ 46
- 4) Yoshikuni, H. and N. Kumamoto (1984) : "Study on the irrotational consolidation", Mitsubishi Heavy Industries, Ltd., TECHNICAL REVIEW, Vol. 21, No. 2, pp.87~ 95
- 5) 熊本直樹, 吉国洋 (1985) : 非回転圧密への圧密応力の適用, 地盤と建設 (土質工学会中国支部論文報告集), Vol. 3, No. 1, pp.1 ~ 10
- 6) 吉国洋 (1973) : 多次元圧密とその軸対称問題への適用, 東京工業大学学位論文